

II-368 連続Fed-Batch法による活性汚泥動力学式のパラメータ測定

大阪大学工学部 正会員

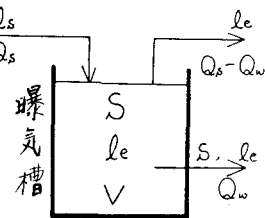
橋本 瑞
岩城 恵祐
柴田 雅秀

1. まえがき

曝気槽に基質を連続的に流入させ、一定時間毎に曝気槽内活性汚泥を抜き取り活性汚泥法の操作を連続Fed-Batch法と名づけて、本法の動力学式を誘導して、そのパラメーターを測定した。

2. 連続Fed-Batch法による活性汚泥法の動力学式とその非定常解析

連続Fed-Batch法の運転操作は、図-1の模式図に示すように、曝気槽に基質を連続的に流入させ、一定時間毎に曝気槽内汚泥を抜き取り操作を繰り返す。ここで、 l_s は流入基質濃度(mg/l), Q_s は流入量(l/s), l_e は流出基質濃度(mg/l), Q_w は抜き取り汚泥量(l/s), S は曝気槽内活性汚泥濃度(mg/l), V は曝気槽容量(l), Q_o は流出量(l/s), S_e は流出水活性汚泥濃度(mg/l)である。



曝気槽内活性汚泥の物質収支は次式で示されます。

$$V \frac{dS}{dt} = V \frac{ds}{dt} - [Q_w S + (Q_s - Q_w) S_e] \quad (1)$$

但し、 $\frac{dS}{dt}$ は曝気槽活性汚泥濃度の時間変化。

dS は活性汚泥増殖速度(ppm/h)である。

(1)式は次のようになります。

$$\frac{1}{S} \frac{dS}{dt} = \frac{1}{V} \frac{ds}{dt} - \frac{Q_w S + (Q_s - Q_w) S_e}{V S} \quad (2)$$

図-1の曝気槽を、 $S_e=0$ 或いは $Q_s - Q_w = 0$ とすると上にセットすると(2)式から次式を得られます。

$$\frac{1}{S} \frac{dS}{dt} = \frac{1}{V} \frac{ds}{dt} - \frac{Q_w S}{V S} \quad (3)$$

ここで、 $\frac{1}{S} \frac{dS}{dt}$ は比増殖速度(μ)、 $\frac{Q_w S}{V S}$ は活性汚泥

平均滞留時間の逆数(t_s)で、(3)式は次のようになります。

$$\mu = \frac{1}{S} \frac{dS}{dt} + \frac{1}{t_s} \quad (4)$$

又、曝気槽内基質の收支は次式で示されます。

$$V \frac{ds}{dt} = Q_s l_s - (Q_s - Q_w) l_e - V \frac{ds}{dt} \quad (5)$$

$$\frac{1}{S} \frac{dS}{dt} = \frac{Q_s (l_s - l_e)}{V S} - \frac{1}{S} \frac{ds}{dt} \quad (6)$$

活性汚泥増殖と基質除去の関係は次式で示されます。

$$M = \frac{1}{S} \frac{dS}{dt} = Y \frac{1}{S} \frac{ds}{dt} - \kappa \quad (7)$$

但し Y は収率係数、 κ は自己分解係数である。

3. 実験装置並びに方法

図-2のように、実験曝気槽(プラスチック製、容積約8L)を、恒温槽に入れて、槽底部多孔球から曝気し、処理水はフィルターから流出するよ

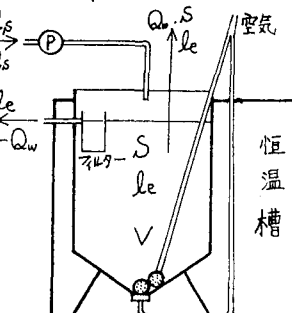
うになっています。基質として、表-1の合成下水を用い、これを定量ポンプ

で槽内へ連続的に添加した。実験には、Fill and Draw方式で予め培養され且

て使用基質に2~3日熟成された活性汚泥を用いた。又、実験は右を0.25h、

0.5h、1.0h、2.0hと変化させて、槽内温度を20°Cと30°Cと設定した。又、 t_s

図-2 実験曝気槽の模式図



によって、適当な時間間隔で所定量の汚泥を引き抜き、 COD_{cr} 濃度とMLSS濃度を測定し、これを定常状態になるまで続けた。MLSSは、10000 rpm、10分間遠心法で、 COD_{cr} は遠心上澄液を下水試験方法により測定した。

4. 実験結果ならびに考察

連続Fed-Batch法で行い、実験結果、一例を図-3に示した。また、非定常解析を行ない得られた動力学パラメータの値を表-2に示した。Run 1から

Peptone	1.8
Meat extract	1.2
Urea	0.3
NaCl	0.09
KCl	0.042
CaCl ₂	0.042
MgSO ₄	0.03
Na ₂ HPO ₄	0.3

(g/l)

Run 5は20°C、Run 6とRun 7は30°Cにおける結果である。図-4にYとt_sの関係を示した。これから、曝気槽内温度が一定であるならば、Yの値はほとんど変化しないことがわかる。すなはち、同じ温度ではYはt_sに無関係で次のように定めた値が得られる。これらの値は既報の結果とよく一致している。 $Y = 0.4 (20^{\circ}\text{C}), 0.69 (30^{\circ}\text{C})$

bの値については、0.04から0.48%範囲で変動したが、この変動はフィルターを通過する流出水中の汚泥を無視したためで、本制御の精度をより厳密にすれば一定の値が得られるものと思われる。また、K_m、m、nに關しては、表-2に示した初期値と計算結果の収束値を比較してみると、Run 2、Run 6以外は初期値とほとんど同じ値に収束している。これは(9)式で採用した修正モデル式が基質除去の動力学式を最もよく近似させることができ、従来よりも一般性のあることを示している。流入基質が同質かつ実験を厳密に行えば、各パラメータはt_sに無関係でほぼ一定の値をとることが考えられる。つまり、パラメータ推定には、 $t_s = 0.253 (\text{B}) = 2$ で決定されたパラメータ値で代表できる。

5.まとめ

以上のことから、次のことが結論である。

- 連続Fed-Batch法による非定常解析から活性汚泥法動力学式の各種パラメータを推定することができた。

- $t_s = 0.253 (\text{B})$ のパラメータ値は、他の t_s

表-2 連続Fed-Batch法による動力学パラメータ値

値のパラメータに代表できる。

(文献)

- 橋本獎: 活性汚泥法の動力学と高濃度活性汚泥法の実用化、第5回国水処理研究会テキスト、P16-P32、大阪大学生産技術研究会主催、昭和51年11月17日、於大阪科学技術センター

- Nelder, J.A. & Mead, R.: A Simplex

Method for Function Minimization,

Computer J., Vol. 7 (1964)

- 橋本獎: 活性汚泥法新しい試み、環境技術、Vol. 6, No. 1, (1977)

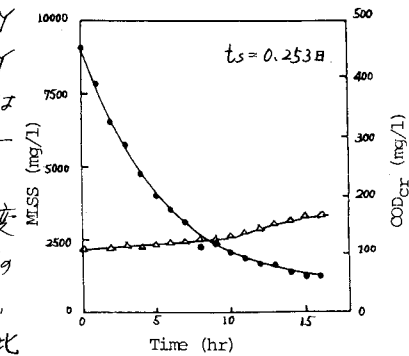


図-3 RUN 1における経時変化

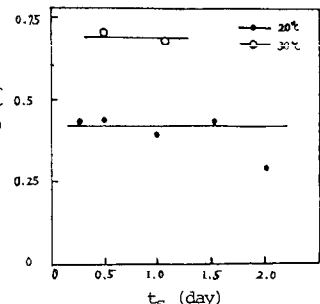


図-4 Yとt_sの関係

RUN No.	T _s (B)	1.0 × 10 ⁻⁹ () は初期値					
		Y	b (%)	K _m	k	m	n
RUN 1	0.253	0.421	0.476	0.139 (0.144)	12.6 (13.7)	1.08 (1.05)	1.11 (1.05)
RUN 2	0.463	0.422	0.239	0.102 (0.210)	11.4 (6.64)	0.911 (0.968)	0.628 (0.968)
RUN 3	0.947	0.372	0.422	1.10 (0.809)	20.6 (14.2)	1.05 (1.01)	1.04 (1.01)
RUN 4	1.52	0.417	0.195	0.326 (0.328)	4.30 (4.30)	0.867 (0.865)	0.842 (0.865)
RUN 5	2.10	0.263	0.036	1.57 (1.60)	24.4 (26.0)	1.01 (1.00)	1.06 (1.00)

RUN 6	0.506	0.709	0.383	0.117 (0.951)	27.0 (27.0)	0.905 (0.929)	0.449 (0.929)
RUN 7	0.994	0.661	0.371	0.173 (0.173)	5.28 (5.28)	0.946 (0.946)	0.946 (0.946)